

تأثیر یاتاقان‌های غیرهمگن بر رفتار دینامیکی و پایداری اتوبالانسر ساچمه- فنر

موسی رضائی*، میرمحمد اتفاق، رضا فتحی

دانشکده مهندسی مکانیک، دانشگاه تبریز، تبریز، ایران

خلاصه: در سال‌های اخیر استفاده از اتوبالانسر دینامیکی ساچمه‌ای برای رفع نابالانسی‌های متغیر با شرایط کاری، بیش از پیش مورد توجه محققان قرار گرفته است. اتوبالانسر دینامیکی ساچمه‌ای وسیله‌ای است که بطور خودکار نابالانسی‌های متغیر با شرایط کاری را بدون نیاز به متوقف کردن تجهیزات دوار در شرایط خاص رفع و سیستم را بالانس می‌کند. بالانسر اتوماتیک ساچمه- فنر نوع جدیدی از بالانسرهای اتوماتیک ساچمه‌ای می‌باشد و مزیت اصلی آن نسبت به اتوبالانسرهای ساچمه‌ای متداول، کاهش دامنه ارتعاشی روتور در ناحیه گذرا و وسیع بودن ناحیه بالانس پایدار است. یاتاقان‌ها یکی از مهم‌ترین اجزا تأثیرگذار بر رفتار دینامیکی و پایداری سیستم‌های دوار هستند و در پژوهش‌های پیشین رفتار دینامیکی و پایداری روتور مجهر به اتوبالانسر ساچمه- فنر با یاتاقان‌های همگن بررسی شده است. در عمل، به دلایل مختلف از جمله ساخت، یاتاقان‌ها دارای رفتار غیرهمگن می‌باشند. در این پژوهش برای اولین بار رفتار دینامیکی و پایداری روتور نابالانس با یاتاقان‌های غیرهمگن مجهر به اتوبالانسر ساچمه- فنر با استفاده از روش نیمه‌تحلیلی مقیاس‌های چندگانه بررسی شده است. نتایج حاکی از این است غیرهمگن بودن یاتاقان‌ها خللی در مزیت‌های اصلی اتوبالانسر ساچمه- فنر وارد نمی‌کند و در ضمن افزایش پارامتر غیرهمگنی یاتاقان‌ها سبب کاهش ناحیه بالانس پایدار روتور مجهر به اتوبالانسر می‌شود.

کلمات کلیدی:

اتوبالانسر ساچمه- فنر
یاتاقان‌های غیرهمگن
روش مقیاس‌های چندگانه
پاسخ ارتعاشی
ناحیه بالانس پایدار

نهایتاً در وضعیتی قرار می‌گیرند که نابالانسی سیستم را جبران کرده و نهایتاً آن را به حالت بالانس در می‌آورند [۱]. اتوبالانسر ساچمه‌ای کاربردهای متفاوتی در سیستم‌های مختلف از جمله در دی.وی.دی- رام^۱ یا سی.دی-رام^۲، ماشین‌های ابزار و غیره دارد [۲-۵]. تحقیقات اولیه در زمینه بالانسر اتوماتیک ساچمه‌ای توسط تیار [۶] انجام شده است. در سال ۱۹۹۹ جینوچی و همکاران [۷] با بررسی خود نشان دادند هرچند اتوبالانسر ساچمه‌ای قادر به بالانس سیستم در دورهای بالای دور بحرانی اول است ولی در دورهای پایین، دامنه روتور را افزایش می‌دهد. در سال ۱۹۹۹ چانگ و رو [۸] رفتار دینامیکی روتور جفکات مجهر به اتوبالانسر متداول را بررسی کردند. آن‌ها معادلات حرکت را به کمک دستگاه مختصات قطبی به صورت خودگردان تبدیل کرده و توانستند پایداری سیستم را حول نقاط تعادل بطور کامل بررسی کنند. چانگ و چانگ [۹] به بررسی اثر

۱- مقدمه

یکی از عمده‌ترین عوامل ایجاد ارتعاشات در سیستم‌های دوار نابالانسی است. عدم رفع نابالانسی در تجهیزات دوار می‌تواند خسارت‌های زیادی نظیر کاهش عمر یاتاقان‌ها، افزایش هزینه نگهداری سیستم و غیره را به دنبال داشته باشد. اگر نابالانسی مشخص و ثابت باشد عملیات بالانس با متوقف کردن سیستم دوار و اضافه یا کم کردن جرم در صفحاتی که برای بالانس کردن سیستم تعییه شده، انجام می‌گیرد. اما اگر نابالانسی بسته به شرایط کاری تغییر کند، دیگر با روش‌های متداول نمی‌توان ارتعاشات سیستم دوار را کاهش داد. یکی از راهکارهای ساده و موثر جهت کنترل و رفع نابالانسی این نوع سیستم‌ها استفاده از اتوبالانسر ساچمه‌ای است. بالانسر دینامیکی ساچمه‌ای وسیله ساده‌ای است که از یک دیسک دوار شیاردار تشکیل شده که در آن ساچمه‌هایی قرار دارند و در فضای خالی بین ساچمه‌ها در داخل شیار، یک مایع لزج وجود دارد. تحت شرایطی این ساچمه‌ها

* نویسنده عهده‌دار مکاتبات: m_rezaee@tabrizu.ac.ir

1 DVD-ROM

2 CD-ROM

(Creative Commons License) حقوق مؤلفین به نویسنده‌گان و حقوق ناشر به انتشارات دانشگاه امیرکبیر داده شده است. این مقاله تحت لیسانس آفرینندگی مردمی در دسترس شما قرار گرفته است. برای جزئیات این لیسانس، از آدرس <https://www.creativecommons.org/licenses/by-nc/4.0/legalcode> دیدن فرمائید.



وابسته به محل نصب آن روی شفت است و در صورت نزدیکی اتوبالانسر به محل نابالانسی، اتوبالانسر عملکرد بهتری از خود نشان می‌دهد. در سال ۲۰۱۶ یانگ و اسمیت [۲۰] به بررسی رفتار چرخه حدی روتور صفحه‌ای مجهز به اتوبالانسر تحت اثر نیروی آلفورد^۱ پرداختند. نتایج تحقیق آن‌ها نشان داد که افزایش ضریب میرایی اتوبالانسر می‌تواند ارتعاشات مخرب ناشی از چرخه حدی سیستم تحت اثر نیروی آلفورد را از بین ببرد. همچنین آن‌ها در مقاله دیگری [۲۱] به بررسی رفتار چرخه حدی روتور مجهز به اتوبالانسر پرداختند ولی در مدل جدید روتور را غیرصفحه‌ای و شفت را انعطاف‌پذیر در نظر گرفتند. مرور تحقیقات پیشین نشان می‌دهد که اتوبالانسر ساقمه‌ای علاوه بر مزایای متعدد، از جمله ساختار ساده و بالانس اتوماتیک نابالانسی‌های متغیر در شرایط خاص، دارای دو عیب اساسی می‌باشد. اولین عیب افزایش دامنه ارتعاشی روتور در ناحیه گذرا است و این افزایش دامنه در ناحیه گذرا سبب کاهش عمر خستگی، ایجاد صدا و غیره می‌شود. دومین عیب محدود بودن ناحیه بالانس پایدار است. به عبارت دیگر اتوبالانسر به ازای پارامترهای مشخصی از سیستم می‌تواند روتور را بالانس نماید [۸ و ۱۰]. بنابراین محدود بودن این ناحیه سبب می‌شود گستره کاربرد این نوع اتوبالانسر کاهش یابد. با توجه به ایرادات ذکر شده اخیراً مدل جدیدی از اتوبالانسر با عنوان اتوبالانسر ساقمه- فنر [۲۲] ارائه گردیده است. این اتوبالانسر توانسته هر دو عیب مذکور را به طور همزمان تا حد قابل ملاحظه‌ای رفع نماید. با توجه مزیت‌های اتوبالانسر جدید ساقمه- فنر نسبت به اتوبالانسر متدائل که در مدل صفحه‌ای جفکات با یاتاقان همگن در مرجع [۲۲] اثبات شده است، بنابراین بررسی دقیق رفتار دینامیکی اتوبالانسر جدید حائز اهمیت است. در تحقیقات پیشین رفتار دینامیکی روتور با یاتاقان‌های همگن و مجهز به اتوبالانسر ساقمه- فنر با استفاده از روش‌های عددی بررسی شده است. با توجه به اینکه یاتاقان‌ها تاثیر غالب بر رفتار دینامیکی روتورها دارند و بنایه دلایل مختلف از جمله روش ساخت، غیرهمگن هستند و همچنین روش‌های نیمه تحلیلی دارای مزیت‌های متعددی می‌باشند، به همین منظور در این مقاله برای اولین بار رفتار دینامیکی و پایداری روتور با یاتاقان‌های غیرهمگن مجهز به اتوبالانسر ساقمه- فنر با روش مقیاس‌های چندگانه بررسی شده است.

در این پژوهش با در نظر گرفتن روتور با یاتاقان‌های غیرهمگن

ژیروسکوپی بر رفتار دینامیکی و پایداری روتور مجهز به اتوبالانسر پرداختند. نتایج بررسی آن‌ها نشان داد اتوبالانسر علاوه بر بالانس سیستم قادر است زوایای اویلر ناشی از اثر ژیروسکوپی را میرا کند. لو و همکاران [۱۰] به بررسی تحلیلی پایداری روتور مجهز به اتوبالانسر با دو ساقمه پرداختند. آن‌ها محدوده پایداری در همسایگی وضعیت تعادل را به وسیله معادلات خطی‌سازی شده حول نقاط تعادل و با استفاده از مسئله مقدار ویژه بررسی کردند. همچنین لو و هانگ [۱۱] در تحقیقی دیگر رفتار دینامیکی و پایداری روتور مجهز به اتوبالانسر با سه ساقمه را بررسی کردند. در سال ۲۰۰۹ احیایی و مقدم [۱۲] به بررسی تحلیلی و عددی یک محور انعطاف‌پذیر دوار نابالانس واقع بر روی دو تکیه‌گاه الاستیک خطی و مجهز به چندین اتوبالانسر ساقمه‌ای پرداختند. آن‌ها با فرض توزیع نابالانسی به صورت جرم‌های نقطه‌ای در طول محور دوار بدون جرم، معادلات حرکت را استخراج کردند و نشان دادند که با انتخاب مناسب پارامترهای بالانس می‌توان شفت را بالانس نمود و هنگامی که بالانسها در نزدیکی نابالانسی‌ها قرار داده شوند نتایج بهتری حاصل می‌شود. در سال ۲۰۱۱ چان و همکاران [۱۳] تاثیر غیرخطی بودن سیستم تعليق بر پایداری سیستم مجهز به بالانس ساقمه‌ای متدائل را بدون استخراج پاسخ دینامیکی مورد مطالعه قرار دادند. در سال ۲۰۱۳ سانق و همکاران [۱۴] تاثیر تحریک خارجی بر عملکرد اتوبالانسر ساقمه‌ای را مورد مطالعه قرار دادند. در همان سال، بایکو [۱۵] به بررسی رفتار روتور انعطاف‌پذیر ارتوتروپیک مجهز به اتوبالانسر ساقمه‌ای پرداخت. نتایج تحلیل ایشان نشان داد که ناحیه پایدار برای روتور ارتوتروپیک کمتر از ناحیه پایدار روتور ایزوتروپیک است. در سال ۲۰۱۴ رضائی و فتحی [۱۶] تاثیر ضریب میرایی و جرم ساقمه‌های اتوبالانسر بر پایداری و بالانس روتور صفحه‌ای مجهز به اتوبالانسر را بررسی کردند. در سال ۲۰۱۵ رضائی و همکاران [۱۷] با لحاظ کردن اثرات ژیروسکوپی و با استفاده از الگوریتم سیمپلکس نلد-مید پارامترهای بهینه اتوبالانسر به منظور کمینه‌سازی زمان بالانس و صفر کردن زوایای اویلر را استخراج کردند. همچنین رضائی و فتحی [۱۸] در تحقیق دیگر رفتار دینامیکی اتوبالانسر ساقمه‌ای دو ردیفه در حضور اثر ژیروسکوپی را بررسی کردند. در سال ۲۰۱۵ ماجسکی و همکاران [۱۹] به بررسی رفتار دیسک صلب نصب شده بر روی شفت الاستیک مجهز به اتوبالانسر پرداختند. نتایج بررسی آن‌ها نشان داد که عملکرد اتوبالانسر کاملاً

اتوبالانسر ساچمه- فنر ابتدا انرژی جنبشی، انرژی پتانسیل و تابع اتلاف ریلی سیستم را بدست آورده و نهایتاً با استفاده از روابط لاغرانژ معادلات غیرخطی حاکم بر حرکت سیستم استخراج می‌گردد. برای استخراج انرژی جنبشی سیستم سرعت مطلق مرکز جرم روتور و سرعت مطلق خطی ساچمه‌ها طبق روابط زیر استخراج می‌شود:

$$\vec{v}_G = (\dot{x} - y\omega)\vec{i} + (\dot{y} + x\omega + \epsilon\omega)\vec{j} \quad (1)$$

$$\vec{v}_{B_i} = [(\dot{x} - y\omega) + \delta_i \cos \phi_i - \delta_i (\dot{\phi}_i + \omega) \sin \phi_i] \vec{i} + [(\dot{y} + x\omega) + \delta_i \sin \phi_i + \delta_i (\dot{\phi}_i + \omega) \cos \phi_i] \vec{j} \quad (2)$$

بنابراین انرژی جنبشی سیستم طبق رابطه زیر محاسبه می‌شود:

$$T = \frac{1}{2} J \omega^2 + \frac{1}{2} m_d \vec{v}_G \cdot \vec{v}_G + \frac{1}{2} m_b \sum_{i=1}^n \vec{v}_{B_i} \cdot \vec{v}_{B_i} \quad (3)$$

در رابطه بالا جمله اول بیانگر انرژی جنبشی ناشی از دوران دیسک می‌باشد و جملات دوم و سوم به ترتیب نشان‌دهنده انرژی جنبشی انتقالی دیسک و ساچمه‌ها می‌باشد. در رابطه (۳) J و m_d به ترتیب ممان اینرسی جرمی و جرم دیسک می‌باشد و m_b جرم هر یک از ساچمه‌ها می‌باشد. با جایگذاری روابط (۱) و (۲) در رابطه (۳) انرژی جنبشی اتوبالانسر ساچمه- فنر به همراه روتور با فرض یکسان بودن جرم ساچمه‌ها و کوچک بودن قطر آن‌ها، از رابطه (۴) بدست می‌آید:

$$T = \frac{1}{2} J \omega^2 + \frac{1}{2} M [x^2 + y^2 + 2(x\dot{y} - \dot{x}y)\omega + (x^2 + y^2)\omega^2] + \frac{1}{2} m_d (2x\epsilon\omega^2 + \epsilon^2\omega^2 + 2\epsilon\dot{y}\omega) + \frac{1}{2} m_b \sum_{i=1}^n [2\delta_i(\dot{\phi}_i + \omega)(\dot{y} + \omega x)\cos \phi_i - 2\delta_i(\dot{\phi}_i + \omega)(\dot{x} - \omega y)\sin \phi_i + \delta_i^2(\dot{\phi}_i + \omega)^2 + \delta_i^2 + 2\delta_i(\dot{x} - \omega y)\cos \phi_i + 2\delta_i(\dot{y} + \omega x)\sin \phi_i] \quad (4)$$

که در آن M جرم کل مجموعه است. انرژی پتانسیل روتور جفکات با یاتاقان‌های غیرهمگن از رابطه (۵) استخراج می‌گردد:

$$V = \frac{1}{2} k_x x^2 + \frac{1}{2} k_y y^2 \quad (5)$$

انرژی پتانسیل اتوبالانسر ساچمه- فنر طبق مرجع [۲۲] برابر با رابطه (۶) است.

$$V = \frac{1}{2} k_r \sum_{i=1}^n (\delta_i - a)^2 + \frac{1}{2} k_p d^2 \left[\left(\phi_2 - \phi_1 - \frac{2\pi}{n} \right)^2 + \dots + \left(\phi_n - \phi_{n-1} - \frac{2\pi}{n} \right)^2 \right] \quad (6)$$

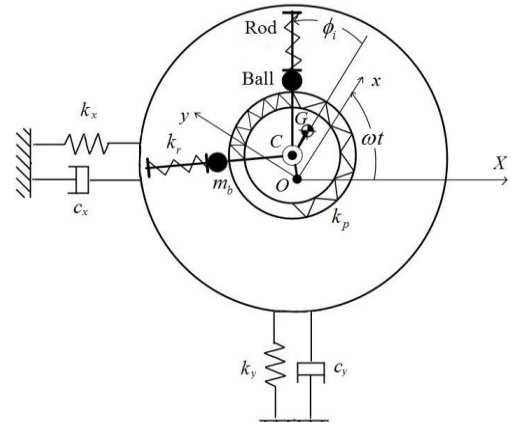
که جمله اول ناشی از فنرهای شعاعی بوده و جمله دوم ناشی از فنرهای محیطی می‌باشد. بنابراین انرژی پتانسیل روتور با یاتاقان‌های

مجهز به اتوبالانسر ساچمه- فنر معادلات غیرخطی حاکم بر سیستم استخراج شده است. با توجه به مزیت‌های متعددی که روش‌های نیمه‌تحلیلی نسبت به روش‌های عددی دارند، پاسخ زمانی سیستم با استفاده از روش مقیاس‌های چندگانه استخراج شده است. همچنین محدوده بالانس پایدار سیستم تعیین و تاثیر پارامتر غیرهمگنی یاتاقان بر آن بررسی شده است. نهایتاً پاسخ زمانی و محدوده بالانس پایدار روتور مجهز به اتوبالانسر ساچمه- فنر با روتور مجهز به اتوبالانسر متداول تحت شرایط یکسان مقایسه شده است.

۲- استخراج معادلات غیرخطی حرکت

مدل شماتیک روتور نابالانس مجهز به اتوبالانسر ساچمه- فنر با یاتاقان‌های غیرهمگن در شکل ۱ نشان داده شده است. همانطور که از شکل مشاهده می‌شود، یاتاقان‌های غیرهمگن در دو جهت با فنر و دمپر ویسکوز با سفتی و میرایی متفاوت مدل شده است. موقعیت ساچمه‌ها به وسیله شعاع i و زاویه ϕ_i که $i = 1, 2, \dots, n$ تعیین می‌شود و n تعداد ساچمه‌ها می‌باشد. مرکز جرم روتور با G و خروج از مرکز با \angle نشان داده شده است. مرکز هندسی روتور، C ، با استفاده از مختصات x و y تعیین می‌شود. برای خودگردان کردن معادلات حرکت، دستگاه مختصات Oxy متصل به روتور فرض شده است که با سرعت زاویه‌ای روتور چرخش می‌کند. هنگامی که روتور در حالت سکون قرار دارد C منطبق بر نقطه عبور خط واصل محور یاتاقان‌ها (نقطه O) است.

در ادامه برای استخراج معادلات غیرخطی حاکم بر حرکت



شکل ۱: نمای شماتیک روتور با یاتاقان‌های غیرهمگن مجهز به اتوبالانسر ساچمه- فنر

Fig.1: Schematic of a rotor with anisotropic bearings equipped with an automatic ball-spring balancer

می‌شود تائید می‌گردد. به منظور کسب نتایج عمومی‌تر، مختصه‌ها و پارامترهای بی‌بعد به صورت رابطه (۱۳) تعریف می‌شوند:

$$\begin{aligned} \bar{x} &= \frac{x}{\gamma}, \quad \bar{y} = \frac{y}{\gamma}, \quad \bar{\delta}_i = \frac{\dot{\delta}_i}{\gamma}, \quad \tau = \omega_n t, \quad r = \sqrt{\bar{x}^2 + \bar{y}^2}, \quad \gamma = \frac{k_r a}{k_r - m_b \omega^2} \\ \zeta_x &= \frac{c_x}{2M\omega_n}, \quad \zeta_y = \frac{c_y}{2M\omega_n}, \quad \bar{m} = \frac{m_b}{M}, \quad e = \frac{\varepsilon}{\gamma}, \quad \bar{\omega} = \frac{\omega}{\omega_n}, \quad \beta = \frac{c_r}{2m_b \omega_n} \\ \omega_b &= \sqrt{\frac{k_r}{m_b}}, \quad \omega_n = \sqrt{\frac{k_x}{m_d}}, \quad f = \frac{\omega_b}{\omega_n}, \quad \eta = \frac{k_p d^2}{m_b \gamma^2 \omega_n^2}, \quad \sigma = \frac{k_y}{k_x} \end{aligned} \quad (13)$$

که در آن ζ_x و ζ_y بیانگر نسبت میرایی روتور در راستاهای x و y ، β نسبت میرایی بالانسر، $\bar{\delta}_i$ جابجایی بی‌بعد ساقمه‌ها در راستای شعاعی و λ طول تعادل فنرهای شعاعی می‌باشد. همچنین ω_b فرکانس طبیعی سیستم ساقمه-فنر شعاعی و σ نسبت سفتی معادل روتور در راستای y به راستای x است. معادلات حرکت سیستم با استفاده از پارامترهای بی‌بعد معرفی شده به صورت روابط (۱۴) تا (۱۷) بدست می‌آیند:

$$\ddot{\bar{x}} + \bar{m} \sum_{i=1}^n \left[\left(\ddot{\delta}_i - \bar{\delta}_i (\dot{\phi}_i + \bar{\omega})^2 \right) \cos \phi_i - \left(\bar{\delta}_i \ddot{\phi}_i + 2 \dot{\delta}_i (\dot{\phi}_i + \bar{\omega}) \right) \sin \phi_i \right] = 0 \quad (14)$$

$$(1 - \bar{m}) e \bar{\omega}^2 + 2 \zeta_x \dot{\bar{x}} - 2 \bar{\omega} \dot{\bar{y}} + (1 - \bar{\omega}^2) \bar{x} - 2 \zeta_x \bar{\omega} \bar{y} = 0$$

$$\ddot{\bar{y}} + \bar{m} \sum_{i=1}^n \left[\left(\ddot{\delta}_i - \bar{\delta}_i (\dot{\phi}_i + \bar{\omega})^2 \right) \sin \phi_i + \left(\bar{\delta}_i \ddot{\phi}_i + 2 \dot{\delta}_i (\dot{\phi}_i + \bar{\omega}) \right) \cos \phi_i \right] = 0 \quad (15)$$

$$+ 2 \zeta_y \dot{\bar{y}} + 2 \bar{\omega} \dot{\bar{x}} + (\sigma - \bar{\omega}^2) \bar{y} + 2 \zeta_y \bar{\omega} \bar{x} = 0$$

$$\bar{m} \bar{\delta}_i \left[\left(\ddot{\bar{y}} + 2 \bar{\omega} \dot{\bar{x}} - \bar{\omega}^2 \bar{y} \right) \cos \phi_i + \left(\ddot{\bar{x}} - 2 \bar{\omega} \dot{\bar{y}} - \bar{\omega}^2 \bar{x} \right) \sin \phi_i + \left(\bar{\delta}_i \ddot{\phi}_i + 2 \dot{\delta}_i (\dot{\phi}_i + \bar{\omega}) \right) \right] = 0 \quad (16)$$

$$2 \bar{m} \beta \bar{\delta}_i^2 \dot{\phi}_i + \eta \bar{m} q_i(\phi_i) = 0$$

$$\bar{m} \left[\left(\ddot{\bar{y}} + 2 \bar{\omega} \dot{\bar{x}} - \bar{\omega}^2 \bar{y} \right) \sin \phi_i + \left(\ddot{\bar{x}} - 2 \bar{\omega} \dot{\bar{y}} - \bar{\omega}^2 \bar{x} \right) \cos \phi_i - \left(\bar{\delta}_i \ddot{\phi}_i^2 - 2 \bar{\omega} \bar{\delta}_i \dot{\phi}_i + \dot{\bar{\delta}}_i \right) \right] = 0 \quad (17)$$

$$2 \bar{m} \beta \dot{\bar{\delta}}_i + \bar{m} (\bar{\delta}_i - 1) (f^2 - \bar{\omega}^2) = 0$$

۳- استخراج پاسخ زمانی

در این بخش پاسخ ارتعاشی روتور نابالانس مجهز به اتوبالانسر ساقمه-فنر با استفاده از روش نیمه تحلیلی مقیاس‌های چندگانه استخراج می‌گردد. در اکثر پژوهش‌های پیشین از روش عددی برای استخراج پاسخ زمانی اتوبالانسر ساقمه-فنر استفاده شده است. در مقاله حاضر با توجه به مزیت‌های روش‌های نیمه تحلیلی از روش مقیاس‌های چندگانه برای بررسی استخراج پاسخ دینامیکی اتوبالانسر مذکور استفاده شده است. بدین منظور پاسخ معادلات غیرخطی به

غیرهمگن مجهز به اتوبالانسر ساقمه-فنر به صورت رابطه (۷) بدست می‌آید:

$$\begin{aligned} V &= \frac{1}{2} k_x x^2 + \frac{1}{2} k_y y^2 + \frac{1}{2} k_r \sum_{i=1}^n (\delta_i - a)^2 + \frac{1}{2} k_p d^2 \\ &\quad \left[\left(\phi_2 - \phi_1 - \frac{2\pi}{n} \right)^2 + \dots + \left(\phi_n - \phi_{n-1} - \frac{2\pi}{n} \right)^2 \right] \end{aligned} \quad (V)$$

که در آن k_x سفتی معادل روتور در راستای x ، k_y سفتی معادل روتور در راستای y ، k_r سفتی فنرهای محیطی و k_p سفتی فنرهای شعاعی می‌باشد.تابع اتلاف ریلی ارائه شده در مرجع [۲۲] برای روتور با یاتاقان غیرهمگن به رابطه (۸) تبدیل می‌شود.

$$\begin{aligned} F &= \frac{1}{2} c_x (\dot{x}^2 - 2\dot{x}\dot{y}\omega + \omega^2 y^2) + \frac{1}{2} c_y (\dot{y}^2 + 2x\dot{y}\omega + \omega^2 x^2) \\ &\quad + \frac{1}{2} c_r \sum_{i=1}^n (\dot{\delta}_i^2 + \delta_i^2 \dot{\phi}_i^2) \end{aligned} \quad (8)$$

که در آن c_x ثابت میرایی معادل روتور در راستای x ، c_y ثابت میرایی معادل روتور در راستای y و c_r ثابت میرایی لجز اتوبالانسر می‌باشد. معادلات غیرخطی حرکت روتور مجهز به اتوبالانسر جدید با استفاده از معادلات لاگرانژ به صورت روابط (۹) تا (۱۲) به دست می‌آیند:

$$M\ddot{x} + m_b \sum_{i=1}^n \left[\left(\ddot{\delta}_i - \delta_i (\dot{\phi}_i + \omega)^2 \right) \cos \phi_i - \left(\delta_i \ddot{\phi}_i + 2 \dot{\delta}_i (\dot{\phi}_i + \omega) \right) \sin \phi_i \right] - m_d \varepsilon \omega^2 + c_x \dot{x} - 2M\omega \dot{y} + (k_x - M\omega^2)x - c_x \omega y = 0 \quad (9)$$

$$M\ddot{y} + m_b \sum_{i=1}^n \left[\left(\ddot{\delta}_i - \delta_i (\dot{\phi}_i + \omega)^2 \right) \sin \phi_i + \left(\delta_i \ddot{\phi}_i + 2 \dot{\delta}_i (\dot{\phi}_i + \omega) \right) \cos \phi_i \right] + c_y \dot{y} + 2M\omega \dot{x} + (k_y - M\omega^2)y + c_y \omega x = 0 \quad (10)$$

$$\begin{aligned} m_b \delta_i \left[\left(\ddot{y} + 2\omega \dot{x} - \omega^2 y \right) \cos \phi_i - \left(\ddot{x} - 2\omega \dot{y} - \omega^2 x \right) \sin \phi_i + \left(\delta_i \ddot{\phi}_i + 2 \dot{\delta}_i (\dot{\phi}_i + \omega) \right) \right] \\ + c_r \delta_i^2 \dot{\phi}_i + k_p d^2 q_i(\phi_i) = 0 \\ q_i(\phi) = \left(\phi_i - \phi_2 - \frac{2\pi}{n} \right) \\ q_i(\phi) = (2\phi_i - \phi_{i-1} - \phi_{i+1}) \\ q_n(\phi) = \left(\phi_n - \phi_{n-1} - \frac{2\pi}{n} \right) \\ i = 2, 3, \dots, n-1 \end{aligned} \quad (11)$$

$$\begin{aligned} m_b \left[\left(\ddot{y} + 2\omega \dot{x} - \omega^2 y \right) \sin \phi_i + \left(\ddot{x} - 2\omega \dot{y} - \omega^2 x \right) \cos \phi_i - \delta_i (\dot{\phi}_i + \omega)^2 + \dot{\delta}_i \right] \\ + c_r \dot{\delta}_i + k_r (\delta_i - a) = 0 \end{aligned} \quad (12)$$

صحت روابط اخیر با قرار دادن $R = \delta_1$ ، $\dot{\delta}_1 = 0$ ، $\ddot{\delta}_1 = 0$ ، $k_r = k_p = 0$ و $c_x = c_y = c$ ، $k_x = k_y = k$ تا (۱۲)، که به روابط موجود در مقالات [۱۰] و [۱۱] منجر

صورت زیر در نظر گرفته می‌شود:

$$\begin{aligned} & -2\bar{\omega}\delta_{i0}D_1\phi_{i1}-\delta_{i0}(D_0\phi_{i1})^2-2\phi_{i1}\bar{\omega}D_0\delta_{i1})\cos\phi_{i0}+ \\ & (\bar{\omega}^2\delta_{ii}\phi_{i1}-\phi_{i1}D_0^2\delta_{ii}-\delta_{ii}D_0^2\phi_{i1}-2\delta_{i0}D_0D_1\phi_{i1} \\ & -2D_0\delta_{ii}D_0\phi_{i1}-2\bar{\omega}D_0\delta_{ii}+2\delta_{i0}\phi_{i1}\bar{\omega}D_0\phi_{i1})\sin\phi_{i0}] + \\ & 2D_0D_1x_1+2\zeta_xD_1x_1-2\bar{\omega}D_1y_1=0 \end{aligned}$$

$$\begin{aligned} & D_0^2y_2+2\zeta_yD_0y_2+(\sigma-\bar{\omega}^2)y_2+2\bar{\omega}D_0x_2+ \\ & 2\zeta_y\bar{\omega}x_2+\bar{m}\sum_{i=1}^2[(D_0^2\delta_{i2}-2\delta_{i0}\bar{\omega}D_0\phi_{i2}-\bar{\omega}^2\delta_{i2})\sin\phi_{i0} \\ & +(\delta_{i0}\bar{\omega}^2\phi_{i2}+\delta_{i0}D_0^2\phi_{i2}+2\bar{\omega}D_0\delta_{i2})\cos\phi_{i0}] + \\ & \bar{m}\sum_{i=1}^2[(2D_0D_1\delta_{ii}-\delta_{i0}\phi_{i1}D_0^2\phi_{ii}-2\delta_{ii}\bar{\omega}D_0\phi_{ii} \\ & -2\bar{\omega}\delta_{i0}D_1\phi_{ii}-\delta_{i0}(D_0\phi_{ii})^2-2\phi_{ii}\bar{\omega}D_0\delta_{ii})\sin\phi_{i0}+ \\ & (\delta_{ii}D_0^2\phi_{ii}-\bar{\omega}^2\delta_{ii}\phi_{ii}+\phi_{ii}D_0^2\delta_{ii}+2\delta_{i0}D_0D_1\phi_{ii} \\ & +2D_0\delta_{ii}D_0\phi_{ii}+2\bar{\omega}D_0\delta_{ii}-2\delta_{i0}\phi_{ii}\bar{\omega}D_0\phi_{ii})\cos\phi_{i0}] + \\ & 2D_0D_1y_1+2\zeta_yD_1y_1+2\bar{\omega}D_1x_1=0 \end{aligned}$$

$$\begin{aligned} \varepsilon^2 : & \bar{m}[(\delta_{i0}D_0^2y_2+2\delta_{i0}\bar{\omega}D_0x_2-\delta_{i0}\bar{\omega}^2y_2- \\ & \bar{\omega}^2\delta_{i0}x_0\phi_{i2}-\delta_{i2}\bar{\omega}^2y_0)\cos\phi_{i0}+(2\delta_{i0}\bar{\omega}D_0y_2-\delta_{i0}D_0^2x_2 \\ & +\delta_{i0}\bar{\omega}^2x_2+\bar{\omega}^2\delta_{i0}y_0\phi_{i2}+\delta_{i2}\bar{\omega}^2x_0)\sin\phi_{i0}+\delta_{i0}^2D_0^2\phi_{i2}] + \\ & 2\beta\delta_{i0}^2\bar{m}D_0\phi_{i1}+2\delta_{i0}\bar{\omega}\bar{m}D_0\delta_{i2} \\ & +\bar{m}[(\delta_{ii}D_0^2y_1+2\delta_{i0}\bar{\omega}D_1x_1-\delta_{ii}\bar{\omega}^2y_1+ \\ & \bar{\omega}^2x_0\delta_{ii}\phi_{ii}+\bar{\omega}^2\phi_{ii}\delta_{ii}x_1+2\delta_{ii}\phi_{ii}\bar{\omega}D_0y_1-\phi_{ii}\delta_{ii}D_0^2x_1 \\ & +2\delta_{ii}\bar{\omega}D_0x_1+2\delta_{i0}D_0D_1y_1)\cos\phi_{i0}-(\delta_{ii}\phi_{ii}D_0^2y_1- \\ & \bar{\omega}^2\phi_{ii}\delta_{ii}y_1-2\delta_{ii}\bar{\omega}D_0y_1+\delta_{ii}D_0^2x_1-\bar{\omega}^2y_0\delta_{ii}\phi_{ii} \\ & +2\bar{\omega}\phi_{ii}\delta_{ii}D_0x_1-\bar{\omega}^2\delta_{ii}x_1-2\delta_{ii}\bar{\omega}D_1y_1+2\delta_{ii}\delta_{ii}D_0^2\phi_{ii}] + \\ & \eta\bar{m}q_i(\phi_i)+2\bar{m}\delta_{i0}^2D_0D_1\phi_{i1} \\ & +4\beta\delta_{i0}\delta_{ii}\bar{m}D_0\phi_{ii}+2\beta\delta_{i0}^2\bar{m}D_1\phi_{i1}+2\delta_{i0}\bar{\omega}\bar{m}D_1\delta_{ii}+ \\ & 2\bar{m}\delta_{i0}D_0\delta_{ii}D_0\phi_{ii}+2\bar{m}\bar{\omega}\delta_{ii}D_0\delta_{ii}=0, \quad i=1,\dots,n \end{aligned}$$

$$\begin{aligned} & \bar{m}[(D_0^2x_2+\bar{\omega}^2y_0\phi_{i2}-\bar{\omega}^2x_2-2\bar{\omega}D_0y_2)\cos\phi_{i0} \\ & +(\bar{\omega}^2x_0\phi_{i2}-\bar{\omega}^2y_2+2\bar{\omega}D_0x_2+D_0^2y_2)\sin\phi_{i0}] \\ & +2\beta\bar{m}D_0\delta_{i2}-2\delta_{i0}\bar{\omega}\bar{m}D_0\phi_{i2}+\bar{m}\bar{\delta}_{i2}(f^2-\bar{\omega}^2) \\ & +\bar{m}D_0^2\delta_{i2}+\bar{m}[(2D_0D_1x_1-\bar{\omega}^2\phi_{i1}y_1+\phi_{i1}D_0^2y_1 \\ & +2\phi_{i1}\bar{\omega}D_0x_1-2\bar{\omega}D_1y_1)\cos\phi_{i0}+ \\ & (2\phi_{i1}\bar{\omega}D_0y_1+\bar{\omega}^2\phi_{i1}x_1+2D_0D_1y_1-\phi_{i1}D_0^2x_1+2\bar{\omega}D_1x_1)\sin\phi_{i0}] \\ & +2\beta\bar{m}D_1\delta_{ii}+2\bar{m}D_0D_1\delta_{ii}-2\delta_{i0}\bar{\omega}\bar{m}D_1\phi_{ii} \\ & -2\bar{m}\bar{\omega}\delta_{ii}D_0\phi_{ii}-\bar{m}\delta_{i0}(D_0\phi_{ii})^2=0, \quad i=1,\dots,n \end{aligned}$$

در معادلات (۱۹) نقاط x_0 ، y_0 و ϕ_{i0} نشانگر نقطه

تعادل سیستم بوده و مقدار آن‌ها ثابت و مشتق آن‌ها برابر صفر است. پس از استخراج جملات هم‌مرتبه از ε برای بدست آوردن نقاط $x_0 = r_0 \cos \theta_0$ و $y_0 = r_0 \sin \theta_0$ تعادل سیستم با بیان x_0 و y_0 به صورت قطبی r_0 نشانگر دامنه ارتعاشات روتور در حالت

$$\begin{aligned} \bar{x}(\tau; \varepsilon) &= x_0 + \varepsilon x_1(T_0, T_1, \dots) + \varepsilon^2 x_2(T_0, T_1, \dots) + \dots \\ \bar{y}(\tau; \varepsilon) &= y_0 + \varepsilon y_1(T_0, T_1, \dots) + \varepsilon^2 y_2(T_0, T_1, \dots) + \dots \\ \phi_i(\tau; \varepsilon) &= \phi_{i0} + \varepsilon \phi_{i1}(T_0, T_1, \dots) + \varepsilon^2 \phi_{i2}(T_0, T_1, \dots) + \dots \\ \bar{\delta}_i(\tau; \varepsilon) &= \delta_{i0} + \varepsilon \delta_{i1}(T_0, T_1, \dots) + \varepsilon^2 \delta_{i2}(T_0, T_1, \dots) + \dots \end{aligned} \quad (18)$$

با در نظر گرفتن سه جمله از روابط (۱۸) و جایگذاری آن‌ها در معادلات (۱۴) تا (۱۷)، و از مساوی هم قرار دادن ضرایب جملات هم مرتبه از ε ، دستگاه معادلات دیفرانسیل مربوط به مرتبه‌های ε^0 ، ε^1 و ε^2 به ترتیب مطابق روابط (۱۹) تا (۲۱) بدست می‌آید:

$$\varepsilon^0 : \begin{cases} (1-\bar{\omega}^2)x_0-2\zeta_x\bar{\omega}y_0-(1-\bar{m})e\bar{\omega}^2-\bar{\omega}^2\bar{m}\sum_{i=1}^n(\delta_{ii}\cos\phi_{i0})=0 \\ (\sigma-\bar{\omega}^2)y_0-\bar{\omega}^2\bar{m}\sum_{i=1}^n(\delta_{ii}\sin\phi_{i0})+2\zeta_y\bar{\omega}x_0=0 \\ \bar{\omega}^2\bar{m}\delta_{ii}(x_0\sin\phi_{i0}-y_0\cos\phi_{i0})=0 \quad i=1,2,\dots,n \\ \bar{m}[(f^2-\bar{\omega}^2)(\delta_{ii}-1)-\bar{\omega}^2(x_0\cos\phi_{i0}+y_0\sin\phi_{i0})]=0 \quad i=1,2,\dots,n \end{cases} \quad (19)$$

$$\begin{aligned} & D_0^2x_1+2\zeta_xD_0x_1+(1-\bar{\omega}^2)x_1-2\bar{\omega}D_0y_1-2\zeta_x\bar{\omega}y_1+ \\ & \bar{m}\sum_{i=1}^2[(D_0^2\delta_{ii}-2\delta_{ii}\bar{\omega}D_0\phi_{ii}-\bar{\omega}^2\delta_{ii})\cos\phi_{i0} \\ & +(\delta_{ii}\bar{\omega}^2\phi_{ii}-\delta_{ii}D_0^2\phi_{ii}-2\bar{\omega}D_0\delta_{ii})\sin\phi_{i0}]=0 \end{aligned}$$

$$\begin{aligned} & D_0^2y_1+2\zeta_yD_0y_1+(\sigma-\bar{\omega}^2)y_1+2\bar{\omega}D_0x_1+2\zeta_y\bar{\omega}x_1+ \\ & \bar{m}\sum_{i=1}^2[(D_0^2\delta_{ii}-2\delta_{ii}\bar{\omega}D_0\phi_{ii}-\bar{\omega}^2\delta_{ii})\sin\phi_{i0} \\ & +(\delta_{ii}D_0^2\phi_{ii}-\delta_{ii}\bar{\omega}^2\phi_{ii}+2\bar{\omega}D_0\delta_{ii})\cos\phi_{i0}]=0 \end{aligned}$$

$$\begin{aligned} \varepsilon^1 : & \bar{m}[(\delta_{i0}D_0^2y_1+2\delta_{i0}\bar{\omega}D_0x_1-\delta_{i0}\bar{\omega}^2y_1+ \\ & \bar{\omega}^2\delta_{i0}x_0\phi_{i1}-\delta_{i1}\bar{\omega}^2y_0\phi_{i1})\cos\phi_{i0}+ \\ & (2\delta_{i0}\bar{\omega}D_0y_1-\delta_{i0}D_0^2x_1+\delta_{i0}\bar{\omega}^2x_1 \\ & +\bar{\omega}^2\delta_{i0}y_0\phi_{i1}+\delta_{i1}\bar{\omega}^2x_0)\sin\phi_{i0}+\delta_{i0}^2D_0^2\phi_{i1}] + \\ & 2\beta\delta_{i0}^2\bar{m}D_0\phi_{i1}+2\delta_{i0}\bar{\omega}\bar{m}D_0\delta_{i1}+\eta\bar{m}q_i(\phi_i)=0, \quad i=1,\dots,n \quad (20) \end{aligned}$$

$$\begin{aligned} & \bar{m}[(D_0^2x_1-\bar{\omega}^2\phi_{ii}y_0-\bar{\omega}^2x_1-2\bar{\omega}D_0y_1)\cos\phi_{i0}+ \\ & (D_0^2y_1+\bar{\omega}^2\phi_{ii}x_0-\bar{\omega}^2y_1+2\bar{\omega}D_0x_1)\sin\phi_{i0}] \\ & +2\beta\bar{m}D_1\delta_{ii}+\bar{m}D_0^2\delta_{ii}-2\delta_{i0}\bar{\omega}\bar{m}D_0\phi_{ii}+ \\ & \bar{m}\bar{\delta}_{ii}(f^2-\bar{\omega}^2)=0, \quad i=1,\dots,n \end{aligned}$$

$$\begin{aligned} & D_0^2x_2+2\zeta_xD_0x_2+(1-\bar{\omega}^2)x_2-2\bar{\omega}D_0y_2-2\zeta_x\bar{\omega}y_2+ \\ & \bar{m}\sum_{i=1}^2[(D_0^2\delta_{ii}-2\delta_{ii}\bar{\omega}D_0\phi_{ii}-\bar{\omega}^2\delta_{ii})\cos\phi_{i0} \\ & +(\delta_{ii}\bar{\omega}^2\phi_{ii}-\delta_{ii}D_0^2\phi_{ii}-2\bar{\omega}D_0\delta_{ii})\sin\phi_{i0}]+ \\ & \bar{m}\sum_{i=1}^2[(2D_0D_1\delta_{ii}-\delta_{ii}\phi_{ii}D_0^2\phi_{ii}-2\delta_{ii}\bar{\omega}D_0\phi_{ii}] \end{aligned} \quad (21)$$

$$\begin{aligned} x_1 &= C_1(T_1)c_{1j}e^{\lambda_j T_0} + cc \quad y_1 = C_2(T_1)c_{2j}e^{\lambda_j T_0} + cc \\ \phi_{11} &= C_3(T_1)c_{3j}e^{\lambda_j T_0} + cc \quad \phi_{21} = C_4(T_1)c_{4j}e^{\lambda_j T_0} + cc \\ \delta_{11} &= C_5(T_1)c_{5j}e^{\lambda_j T_0} + cc \quad \delta_{21} = C_6(T_1)c_{6j}e^{\lambda_j T_0} + cc \end{aligned} \quad (31)$$

که در آن λ_j و c_{ij} به ترتیب مقادیر و المان‌های بردارهای ویژه سیستم است که از ماتریس \mathbf{A} به دست آمده‌اند. برای استخراج پاسخ سیستم لازم است $C_i(T_1)$ ها استخراج گردد. جمله دوم پاسخ، به صورت زیر فرض می‌شود:

$$\begin{aligned} \dot{x}_2 &= b_{1j}e^{\lambda_j T_0} + cc \quad y_2 = b_{2j}e^{\lambda_j T_0} + cc \\ \phi_{12} &= b_{3j}e^{\lambda_j T_0} + cc \quad \phi_{22} = b_{4j}e^{\lambda_j T_0} + cc \\ \delta_{12} &= b_{5j}e^{\lambda_j T_0} + cc \quad \delta_{22} = b_{6j}e^{\lambda_j T_0} + cc \end{aligned} \quad (32)$$

با جایگذاری معادلات (31) و (32) در معادلات مربوط به ضرایب $\frac{dC_i(T_1)}{dT_1}$ و انجام عملیات مفصل ریاضی مشخص می‌شود که دلیل مفصل بودن روابط از آوردن آن‌ها خودداری شده است. پس برای به دست آوردن جواب نهایی لازم است ثابت C_i با اعمال شرایط اولیه محاسبه شود. بدین منظور با در نظر گرفتن دو جمله اول از روابط (18) و در $t = 0$ داریم:

$$\epsilon \mathbf{C} = \mathbf{B}^{-1}(\mathbf{X}(0) - \mathbf{X}_0) \quad (33)$$

که در آن \mathbf{B} ماتریسی بر حسب λ_i و c_{ij} است که به صورت زیر محاسبه می‌شود:

$$\mathbf{B} = \begin{bmatrix} \mathbf{M} \\ \mathbf{N} \end{bmatrix} \quad (34)$$

که $N_{ij} = \lambda_i c_{ij}$ و $M_{ij} = c_{ij}$ می‌باشد. بدین ترتیب ثوابت C_i به دست می‌آیند، و در نهایت پاسخ سیستم استخراج می‌گردد. با استفاده از روش توضیح داده شده در این بخش پاسخ ارتعاشی سیستم با نظر گرفتن دو جمله از رابطه (18) به دست آمد. به منظور اطمینان از دقت روش حل نیمه‌تحلیلی و برای صحنه‌سنگی نتایج، پاسخ‌های زمانی معادلات غیرخطی حرکت به روش رانگ-کوتا نیز استخراج شد. شکل ۲ و ۳ به ترتیب مولفه x و y پاسخ زمانی ارتعاش روتور نابالانس را به ازای پارامترهای ارائه شده در جدول ۱ نشان می‌دهد. همان‌طور از این شکل‌ها مشاهده می‌شود، پاسخ بدست آمده از روش مقیاس‌های چندگانه انطباق مناسبی با پاسخ به دست آمده از روش رانگ کوتا دارد.

بعد از اطمینان از صحت نتایج حاصل از روش مقیاس‌های

پایا می‌باشد، و با جایگذاری آن‌ها در روابط (22)، (24) تا (25) بدست می‌آید:

$$(1 - \bar{\omega}^2)r_0 \cos \theta_0 - 2\zeta_x \bar{\omega} r_0 \sin \theta_0 - (1 - \bar{m})e\bar{\omega}^2 - \bar{\omega}^2 \bar{m} \sum_{i=1}^n (\delta_{i0} \cos \phi_{i0}) = 0 \quad (22)$$

$$(\sigma - \bar{\omega}^2)r_0 \sin \theta_0 + 2\zeta_y \bar{\omega} r_0 \cos \theta_0 - \bar{\omega}^2 \bar{m} \sum_{i=1}^n (\delta_{i0} \sin \phi_{i0}) = 0 \quad (23)$$

$$\bar{\omega}^2 \bar{m} \delta_{i0} r_0 \sin(\phi_{i0} - \theta_0) = 0 \quad (24)$$

$$\bar{m} [(f^2 - \bar{\omega}^2)(\delta_{i0} - 1) - \bar{\omega}^2 r_0 \cos(\phi_{i0} - \theta_0)] = 0 \quad (25)$$

براساس معادلات بدست آمده از روابط (22) تا (25) می‌توان وضعیت‌های تعادل سیستم را برای دو مقدار $r_0 = 0$ و $r_0 \neq 0$ استخراج کرد. با توجه به اهمیت حالت بالانس، در اینجا فقط وضعیت بالانس مورد بررسی قرار می‌گیرد. در حالت بالانس، معادلات (22) تا (25) سه معادله (26) تا (28) حاصل می‌شود:

$$\sum_{i=1}^n (\delta_{i0} \cos \phi_{i0}) + \frac{(1 - \bar{m})e}{\bar{m}} = 0 \quad (26)$$

$$\sum_{i=1}^n \sin \phi_{i0} = 0 \quad (27)$$

$$\delta_{i0} = 1 \quad (28)$$

با در نظر گرفتن دو ساقمه، و با توجه به همگن بودن معادلات (20)، پاسخ معادلات مذکور به صورت نمایی و مطابق روابط (29) در نظر گرفته می‌شود:

$$\begin{aligned} x_1 &= c_1 e^{\lambda T_0} \dot{x} & y_1 &= c_2 e^{\lambda T_0} \\ \phi_{11} &= c_3 e^{\lambda T_0} & \phi_{21} &= c_4 e^{\lambda T_0} \\ \delta_{11} &= c_5 e^{\lambda T_0} & \delta_{21} &= c_6 e^{\lambda T_0} \end{aligned} \quad (29)$$

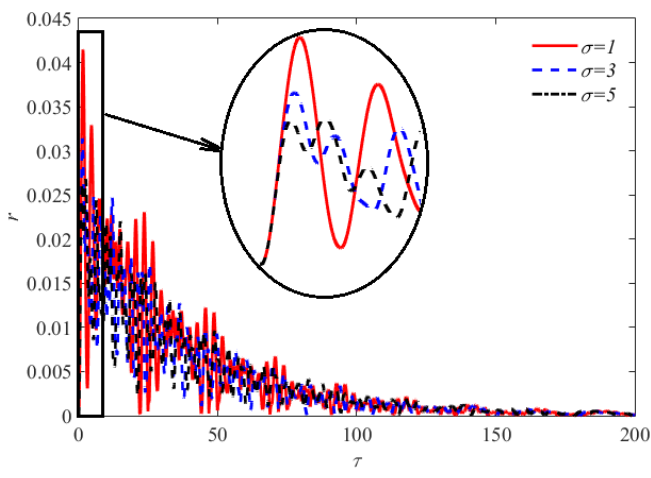
$$\text{که با جایگذاری در معادلات داریم:} \\ [\mathbf{A}]_{6 \times 6} \begin{bmatrix} c_1 \\ c_2 \\ c_3 \\ c_4 \\ c_5 \\ c_6 \end{bmatrix} = 0 \quad (30)$$

که در آن \mathbf{A} ماتریس مربعی است که جهت رعایت اختصار، از آوردن آن خودداری شده است. شرط وجود جواب غیربدیهی برای c_i ها در دستگاه معادلات (30)، صفر بودن دترمینان ماتریس ضرایب می‌باشد. به این ترتیب پاسخ زمانی سیستم روتور و اتوبالانسر با دو ساقمه را می‌توان به صورت رابطه (31) در نظر گرفت:

جدول ۱: مقادیر پارامترهای سیستم [22]

Table 1: Values of the system parameters [22]

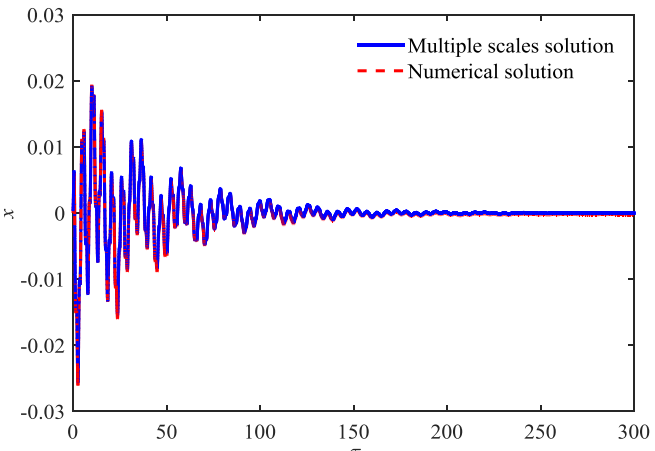
اندازه	پارامتر
۰/۰۲	\bar{m}
۰/۰۱	ζ_x
۰/۰۵	ζ_y
۰/۰۱	e
۰/۱	β
۵	σ
۳	$\bar{\omega}$
۴	f



شکل ۴: پاسخ زمانی روتور مجهز به اتوبالانسر ساچمه- فنر در ناهمگنی‌های مختلف یا تأثیر از ازای پارامترهای $\zeta_x = 0/01$ ، $\bar{m} = 0/02$ ، $\zeta_y = 0/05$ ، $e = 0/01$ ، $\beta = 0/1$ ، $\bar{\omega} = 3$ ، $\eta = 0/004$ و $f = 4$

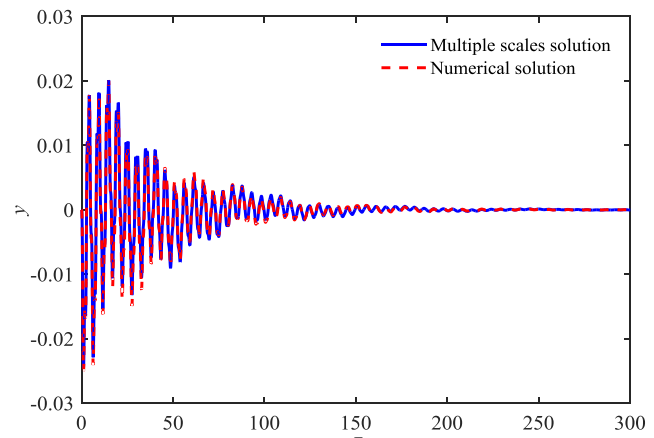
Fig. 4: Vibration response of the rotor with ball-spring AB for three different values of anisotropic parameters for $\bar{m} = 0.02$, $\zeta_x = 0.01$, $\zeta_y = 0.05$, $e = 0.01$, $\beta = 0.1$, $\bar{\omega} = 3$, $\eta = 0.004$ and $f = 4$

یاتاقان‌ها باز قادر به بالانس روتور است. همانطور که در قسمت بزرگنمایی شده مشاهده می‌شود، مطابق انتظار با افزایش سفتی در راستای τ دامنه کاهش پیدا می‌کند. عملکرد اتوبالانسر ساچمه- فنر نسبت به نابالانسی متغیر است که در اثر ایجاد نابالانسی ساچمه‌ها در اثر نیروی مماسی و شعاعی ناشی از نیروی گریز از مرکز در دورهای بالای دور بحرانی اول در خلاف جهت نابالانسی حرکت کرده و با رسیدن به موقعیت تعادل خود، باعث رفع نابالانسی و ارتعاشات می‌گردد.



شکل ۲: مقایسه پاسخ‌های زمانی روتور مجهز به اتوبالانسر ساچمه- فنر استخراج شده با روش تحلیلی مورد استفاده در این مقاله با روش عددی به ازای پارامترهای $\zeta_x = 0/01$ ، $\zeta_y = 0/05$ ، $e = 0/01$ ، $\beta = 0/1$ ، $\bar{m} = 0/02$ ، $\sigma = 5$ ، $\bar{\omega} = 3$ ، $\eta = 0/004$ و $f = 4$

Fig. 2: The time response of a rotor equipped with a ball-spring AB extracted by the analytical method and the numerical method for $\bar{m} = 0.02$, $\zeta_x = 0.01$, $\zeta_y = 0.05$, $e = 0.01$, $\beta = 0.1$, $\sigma = 5$, $\bar{\omega} = 3$, $\eta = 0.004$ and $f = 4$



شکل ۳: مقایسه پاسخ‌های زمانی روتور مجهز به اتوبالانسر ساچمه- فنر استخراج شده با روش تحلیلی مورد استفاده در این مقاله با روش عددی به ازای پارامترهای $\zeta_x = 0/01$ ، $\zeta_y = 0/05$ ، $e = 0/01$ ، $\beta = 0/1$ ، $\bar{m} = 0/02$ ، $\sigma = 5$ ، $\bar{\omega} = 3$ ، $\eta = 0/004$ و $f = 4$

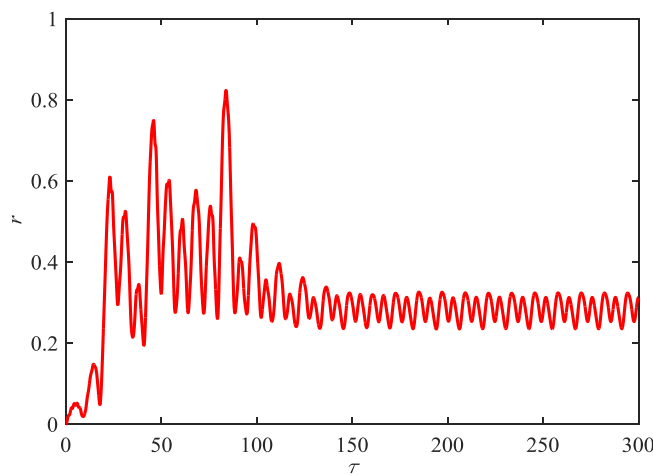
Fig. 3: The time response of a rotor equipped with a ball-spring AB extracted by the analytical method and the numerical method for $\bar{m} = 0.02$, $\zeta_x = 0.01$, $\zeta_y = 0.05$, $e = 0.01$, $\beta = 0.1$, $\sigma = 5$, $\bar{\omega} = 3$, $\eta = 0.004$ and $f = 4$

چندگانه، در ادامه به بررسی تاثیر پارامتر غیرهمگنی یاتاقان‌ها بر روی پاسخ ارتعاشی سیستم پرداخته می‌شود. همانطور که از شکل ۴ مشاهده می‌شود، اتوبالانسر ساچمه- فنر به ازای افزایش ناهمگنی

۴- بررسی پایداری سیستم

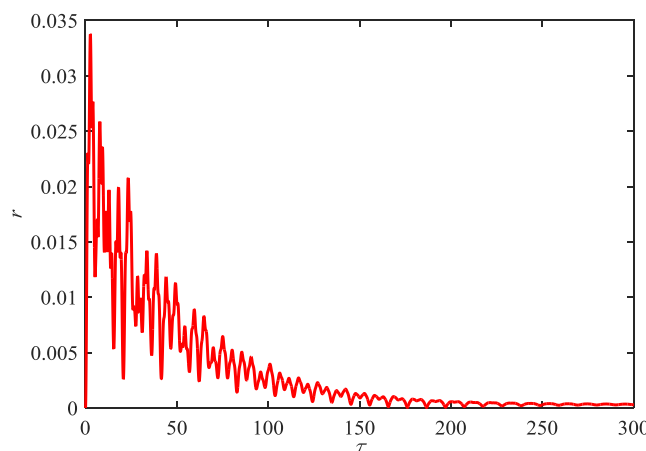
شده است. همان‌طور که از شکل ۵ مشاهده می‌شود، اتوبالانسر ساچمه- فنر به ازای محدوده خاصی از پارامترها قادر است روتور نابالانس با یاتاقان‌های غیرهمگن را بالانس کند.

به منظور صحنه‌سنگی نتایج پایداری، در ادامه پاسخ‌های زمانی مربوط به روتور مجهز به اتوبالانسر جدید به ازای $\zeta_x = 0.01$ ، $\bar{m} = 0.02$ ، $\zeta_y = 0.05$ ، $e = 0.01$ ، $\beta = 0.1$ ، $\sigma = 5$ ، $f = 4$ و $\eta = 0.004$ و در دو حالت (الف) $\bar{\omega} = 2/3$ (ب) $\bar{\omega} = 2/5$ به دست آمده است. دو حالت اخیر در شکل ۶ به ترتیب توسط نقاط A و B مشخص شده است. همان‌طور که از این شکل مشاهده می‌شود در حالت (الف) اتوبالانسر



شکل ۶: پاسخ زمانی روتور مجهز به اتوبالانسر ساچمه- فنر به ازای $\bar{\omega} = 2/3$

Fig. 6: The time response of a rotor equipped with a ball-spring AB for $\bar{\omega} = 2.3$

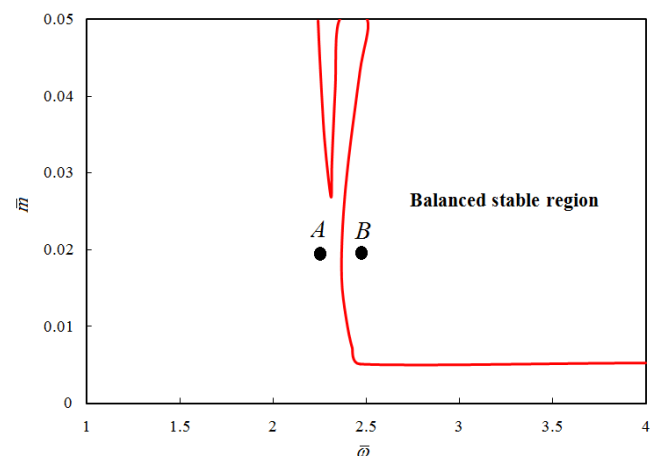


شکل ۷: پاسخ زمانی روتور مجهز به اتوبالانسر ساچمه- فنر به ازای $\bar{\omega} = 2/5$

Fig. 7: The time response of a rotor equipped with a ball-spring AB for $\bar{\omega} = 2.5$

برای بررسی پایداری سیستم‌های غیرخطی حول نقاط تعادل سیستم با معادلات پیچیده همانند سیستم غیرخطی مورد مطالعه، غالباً از خطی‌سازی معادلات حول نقاط تعادل استفاده می‌شود. بنابراین در این مقاله با در نظر گرفتن دو جمله از بسط روش مقیاس‌های چندگانه، معادلات غیرخطی حول نقاط تعادل سیستم خطی‌سازی شده و ماتریس A به دست آمده است. سپس دترمینان ماتریس A استخراج و با صفر قرار دادن آن معادله مشخصه سیستم به دست می‌آید. به این ترتیب با حل معادله مشخصه λ ها به دست می‌آید. هنگامی که همه λ ها دارای قسمت حقیقی منفی باشند، سیستم به صورت مجانبی پایدار است. اگر حداقل یکی از λ ها دارای قسمت حقیقی مثبت باشد، سیستم ناپایدار است. پس با استفاده از ماتریس A ناحیه بالانس پایدار برای سیستم قابل استخراج است. با توجه به اینکه نواحی پایدار بر حسب تمامی پارامترها را نمی‌توان در یک نمودار واحد نشان داد لذا نواحی پایدار برای دو به دوی پارامتر رسم می‌شود.

در شکل ۵ نواحی پایدار روتور با یاتاقان‌های غیرهمگن مجهز به اتوبالانسر ساچمه- فنر بر حسب پارامترهای \bar{m} و $\bar{\omega}$ به ازای $\zeta_x = 0.01$ ، $\zeta_y = 0.05$ ، $e = 0.01$ ، $\beta = 0.1$ ، $\sigma = 5$ و $f = 4$ نشان داده



شکل ۵: محدوده بالانس پایدار روتور مجهز به اتوبالانسر ساچمه- فنر: تغییرات \bar{m} در مقابل $\bar{\omega}$ به ازای $\zeta_x = 0.01$ ، $\zeta_y = 0.05$ ، $e = 0.01$ ، $\beta = 0.1$ ، $\eta = 0.004$ ، $\sigma = 5$ و $f = 4$

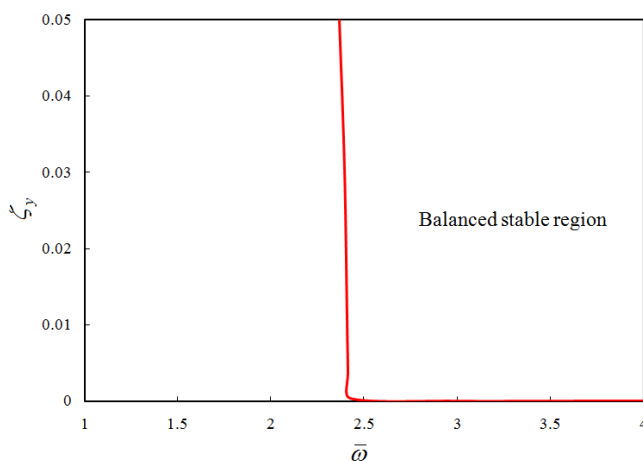
Fig. 5: Balanced stable region of the rotor with ball-spring AB: variation of \bar{m} versus $\bar{\omega}$ for $\zeta_x = 0.01$, $\zeta_y = 0.05$, $e = 0.01$, $\beta = 0.1$, $\eta = 0.004$, $\sigma = 5$ and $f = 4$.

بالанс پایدار روتور مجهز به اتوبالانسر ساچمه- فنر به ازای سه مقدار مختلف σ آورده شده است. همانطور که از این شکل مشاهده می شود با افزایش پارامتر غیرهمگنی یاتاقان ها ناحیه بالанс پایدار سیستم کاهش می یابد. این امر اهمیت در نظر گرفتن ناهمگنی یاتاقان ها در بررسی رفتار روتور مجهز به اتوبالانسر جدید را نشان می دهد. برای مثال، در حالت ایده‌آل، یاتاقان همگن، ممکن است نتایج در محدوده خاصی از پارامترهای سیستم حاکی از توانایی اتوبالانسر ساچمه- فنر برای بالанс روتور باشد در حالی که با در نظر گرفتن حالت واقعیتمنه، یعنی یاتاقان های غیرهمگن، اتوبالانسر ساچمه- فنر قادر به بالанс سیستم نباشد.

همچنین در ادامه به بررسی رفتار دینامیکی و پایداری سیستم بر حسب تابع زمان پرداخته می شود. در شکل های ۱۲ و ۱۳ تراجکتوری فاز- زمان و صفحه فاز در دو راستای x و $\bar{\omega}$ آورده شده است. در شکل های ۱۲-الف و ۱۲-ب تراجکتوری فاز- زمان به ازای دو سرعت زاویه ای $\omega = 2/8$ و $\omega = 2/3$ در راستای x رسم شده است. همانطور که از شکل ۱۲-الف مشاهده می شود در $\omega = 2/8$ دامنه ارتعاشی روتور مجهز به اتوبالانسر ساچمه- فنر بعد از مدتی به صفر میل می کند ولی در $\omega = 2/3$ دامنه ارتعاشی سیستم مذکور صفر نمی شود (شکل ۱۲-ب). همچنین در شکل های ۱۲-ج و ۱۲-د صفحه فاز رسم شده است. همانطور که در این شکل ها مشاهده

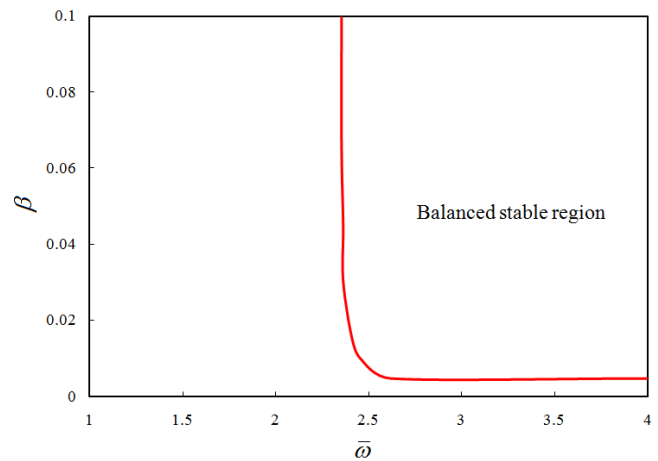
قادر به بالанс روتور با یاتاقان های غیرهمگن نبوده اند ولی در حالت (ب) اتوبالانسر جدید قادر به بالанс سیستم است. در شکل های ۶ و ۷ پاسخ های زمانی متناظر با دو حالت ذکر شده رسم شده است. بررسی پاسخ های زمانی، صحت نتایج بدست آمده در شکل ۵ را تایید می کند. بعد از اطمینان از نتایج پایداری، ناحیه بالанс پایدار به ازای سایر پارامترها بی بعد سیستم استخراج گردید. همانطور که در شکل های ۸ تا ۱۰ مشاهده می شود اتوبالانسر ساچمه- فنر به ازای محدوده خاصی از پارامترها قادر به بالанс روتور است. شکل ۸ محدوده بالанс پایدار روتور مجهز به اتوبالانسر بر حسب نسبت میرایی بالانسر و سرعت دورانی بی بعد روتور را نشان می دهد. همانطور که در این شکل مشاهده می شود اولاً به ازای دوره ای بالاتر از دور بحرانی اول، اتوبالانسر قادر است روتور را بالанс نماید، ثانیاً به ازای $\beta = 0$ یعنی حالتی که نیروی ناشی از میرایی ویسکوز به ساچمه وارد نمی شود اتوبالانسر توانایی بالانس سیستم را ندارد.

در شکل ۱۰ نواحی بالанс پایدار سیستم بر حسب پارامترهای e و $\bar{\omega}$ نشان داده شده است. همان طور که از شکل ۱۰ مشاهده می شود، اتوبالانسر ساچمه- فنر به ازای جرم مشخصی از ساچمه ها قادر است روتور با مقدار ماکزیمم نابالانسی مشخصی را بالانس کند. در این قسمت به بررسی تاثیر پارامتر غیرهمگنی یاتاقان ها بر ناحیه بالانس پایدار سیستم پرداخته می شود. در شکل ۱۱ ناحیه



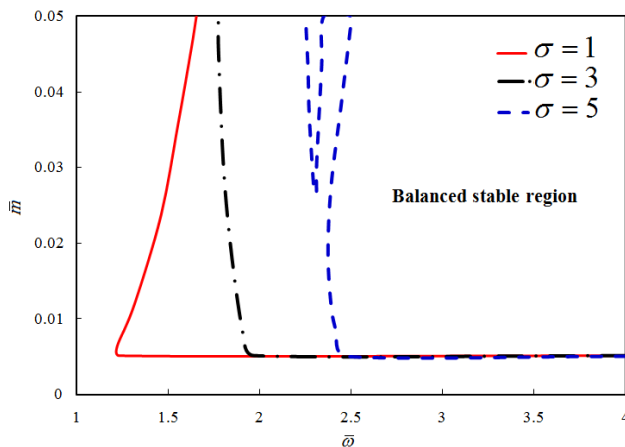
شکل ۹: محدوده بالانس پایدار روتور مجهز به اتوبالانسر ساچمه- فنر:
تغییرات ζ_y در مقابل $\bar{\omega}$ به ازای $\bar{m} = 0.02$ ، $\zeta_x = 0.01$ ، $e = 0.01$ ، $f = 4$ و $\eta = 0.004$ ، $\sigma = 5$ و $\beta = 0.1$

Fig.9: Balanced stable region of the rotor with ball-spring AB: variation of ζ_y versus $\bar{\omega}$ for $\bar{m} = 0.02$, $\zeta_x = 0.01$, $e = 0.01$, $\beta = 0.1$, $\eta = 0.004$, $\sigma = 5$ and $f = 4$



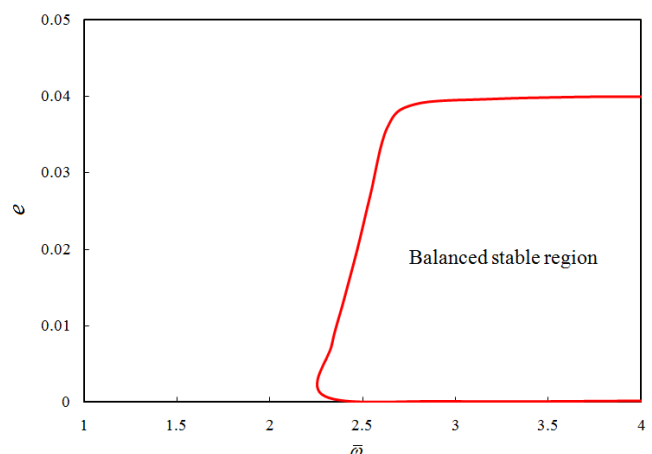
شکل ۸: محدوده بالانس پایدار روتور مجهز به اتوبالانسر ساچمه- فنر:
تغییرات β در مقابل $\bar{\omega}$ به ازای $\bar{m} = 0.02$ ، $\zeta_x = 0.01$ ، $e = 0.01$ ، $f = 4$ و $\eta = 0.004$ ، $\sigma = 5$ و $\beta = 0.1$

Fig.8: Balanced stable region of the rotor with ball-spring AB: variation of β versus $\bar{\omega}$ for $\bar{m} = 0.02$, $\zeta_x = 0.01$, $e = 0.01$, $\eta = 0.004$, $\sigma = 5$ and $f = 4$



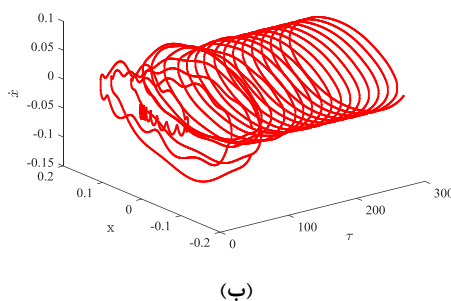
شکل ۱۱: محدوده بالانس پایدار روتور مجهز به اتوبالانسر ساچمه- فنر در ناهمگنی‌های مختلف یا تاقان: تغییرات \bar{m} در مقابل $\bar{\omega}$ به ازای $\zeta_x = 0.01$, $\zeta_y = 0.05$, $e = 0.01$, $\beta = 0.1$, $\eta = 0.004$ و $f = 4$

Fig. 11: Balanced stable region of the rotor with ball-spring AB for three different values of anisotropic parameter for $\zeta_x = 0.01$, $\zeta_y = 0.05$, $e = 0.01$, $\beta = 0.1$, $\eta = 0.004$ and $f = 4$

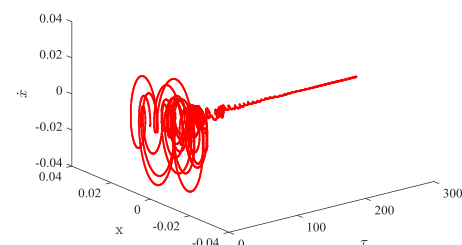


شکل ۱۰: محدوده بالانس پایدار روتور مجهز به اتوبالانسر ساچمه- فنر: تغییرات e در مقابل $\bar{\omega}$ به ازای $\zeta_x = 0.01$, $\zeta_y = 0.05$, $\bar{m} = 0.02$, $\sigma = 5$, $\beta = 0.1$, $\eta = 0.004$ و $f = 4$

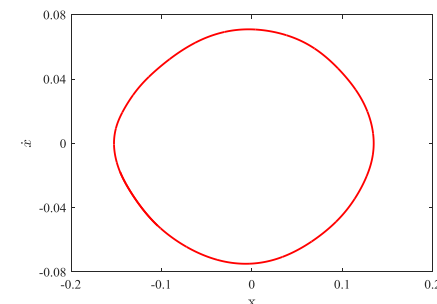
Fig. 10: Balanced stable region of the rotor with ball-spring AB: variation of e versus $\bar{\omega}$ for $\bar{m} = 0.02$, $\zeta_x = 0.01$, $\zeta_y = 0.05$, $\beta = 0.1$, $\eta = 0.004$, $\sigma = 5$ and $f = 4$



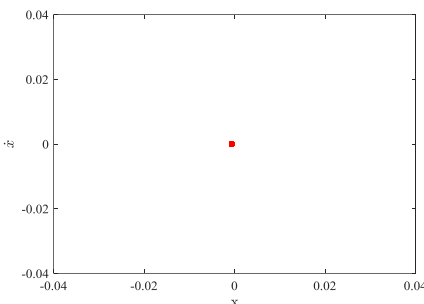
(ب)



(الف)



(د)



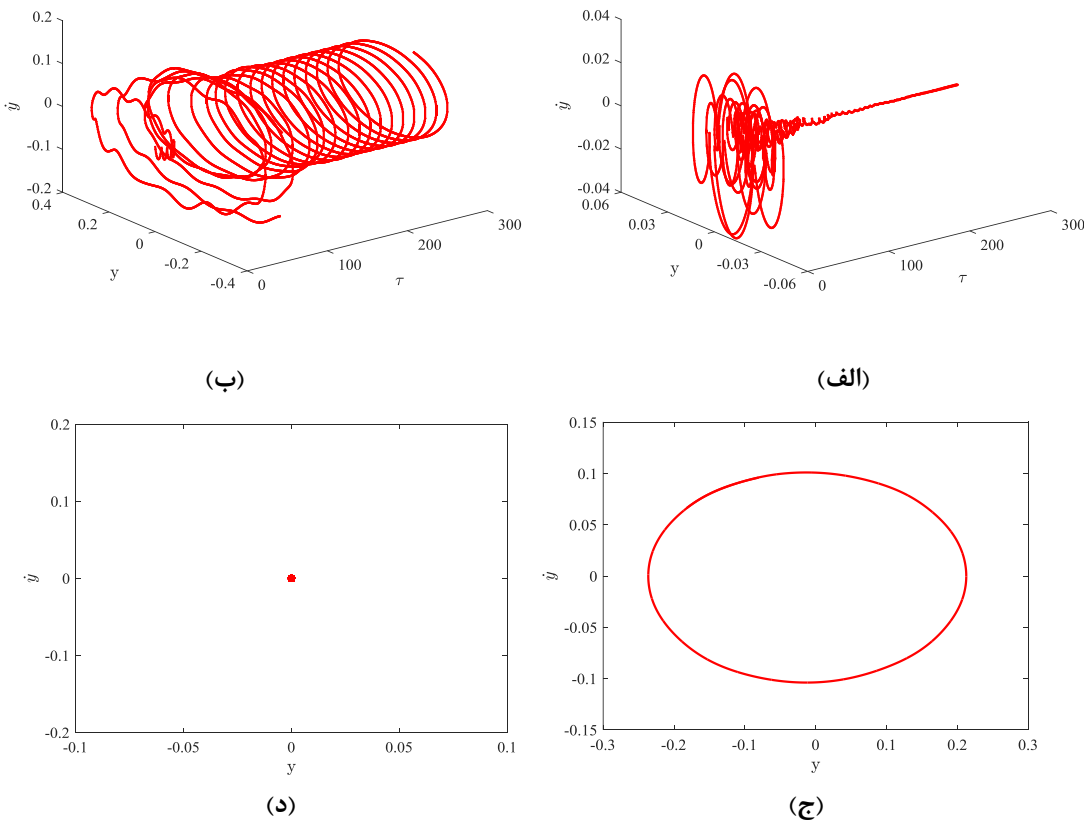
(ج)

شکل ۱۲: تراجکتوری فاز- زمان و صفحه فاز برای روتور مجهز به اتوبالانسر ساچمه- فنر در راستای x به ازای $\bar{m} = 0.01$, $\zeta_x = 0.01$, $\zeta_y = 0.05$, $e = 0.01$, $\beta = 0.1$, $\eta = 0.004$ و $f = 4$

Fig. 12: Phase-time trajectories and phase planes for the rotor with ball-spring AB for x direction for $\bar{m} = 0.01$, $\zeta_x = 0.01$, $\zeta_y = 0.05$, $e = 0.01$, $\beta = 0.1$, $\sigma = 5$, $\eta = 0.004$ and $f = 4$

در شکل‌های ۱۲-الف و ۱۲-ب تراجکتوری فاز- زمان به ازای دو سرعت زاویه‌ای $\omega = 2/\sqrt{8}$ و $\omega = 2/\sqrt{3}$ در راستای y رسم شده است. همانطور که از شکل‌ها مشاهده می‌شود سیستم رفتاری

می‌شود به ازای $\omega = 2/\sqrt{8}$ دامنه نوسانات نهایتاً به مقدار صفر میل می‌کند (شکل ۱۲-ج) در حالیکه به ازای $\omega = 2/\sqrt{3}$ دامنه نوسانات نهایتاً به یک مسیر بسته تبدیل می‌شود (شکل ۱۲-د).



شکل ۱۳: تراJECTORIe فاز- زمان و صفحه فاز برای روتور مجهز به اتوبالانسر ساچمه- فنر در راستای y به ازای $\bar{m} = 0.01$ ، $\zeta_x = 0.01$ ، $\zeta_y = 0.05$ ، $e = 0.01$ ، $\beta = 0.1$ ، $\sigma = 5$ ، $\eta = 0.004$ و $f = 4$

Fig. 13: Phase-time trajectories and phase planes for the rotor with ball-spring AB for y direction for $\bar{m} = 0.01$, $\zeta_x = 0.01$, $\zeta_y = 0.05$, $e = 0.01$, $\beta = 0.1$, $\sigma = 5$, $\eta = 0.004$ and $f = 4$.

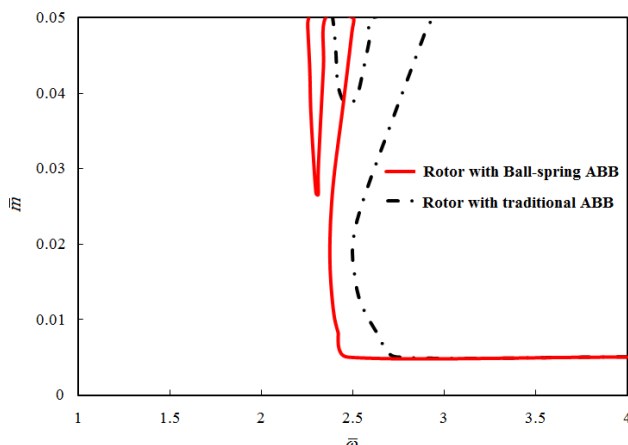
روتور مجهز به اتوبالانسر متداول کاهش یافته است، یعنی یاتاقان‌های غیرهمگن خلی بـ اولین مزیت اتوبالانسر ساچمه- فنر یعنی کاهش دامنه ارتعاشی روتور در ناحیه گذرا وارد نمی‌کند. این مزیت ناشی از فنرهای محیطی در اتوبالانسر ساچمه- فنر می‌باشد. به طوری که در ناحیه گذرا وجود این فنرهای سبب جلوگیری از همگرایی ساچمه‌ها به طرف نابالانسی شده و مانع افزایش دامنه سیستم در ناحیه گذرا می‌شوند.

همچنین برای بررسی دومین مزیت ادعایی برای اتوبالانسر ساچمه- فنر یعنی وسیع تر شدن ناحیه بالانس پایدار، این ناحیه برای روتور با یاتاقان‌های غیرهمگن مجهز به اتوبالانسر ساچمه- فنر و روتور با یاتاقان‌های غیرهمگن مجهز به اتوبالانسر متداول به ازای شرایط یکسان در شکل ۱۵ آورده شده است. همانطور که از این شکل مشاهده می‌شود، محدوده بالانس پایدار روتور مجهز به اتوبالانسر ساچمه- فنر نسبت به روتور مجهز به اتوبالانسر متداول بیشتر است.

مشابه رفتار در راستای x را دارد. بنابراین در سرعت $\omega = 2/3$ اتوبالانسر قادر به بالانس روتور نبوده ولی در $\omega = 2/8$ سیستم بالانس می‌شود. نتیجه حاصل از بررسی پایداری در صفحه فاز تایید کننده نتیجه پایداری حاصل از روش لیپانوف است.

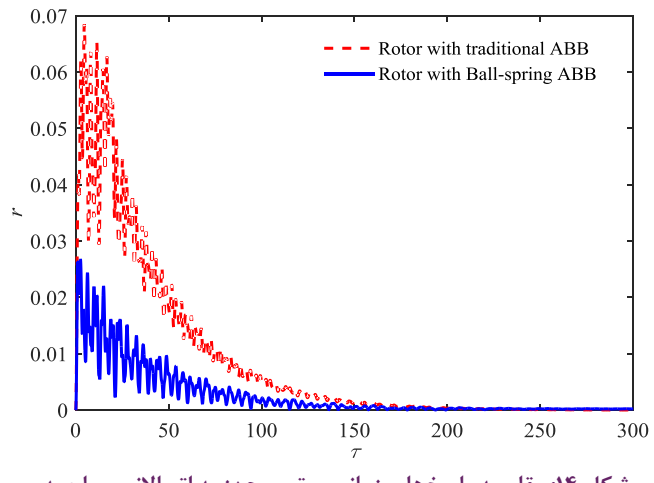
۵- مقایسه نتایج اتوبالانسر ساچمه- فنر با اتوبالانسر متداول

در این بخش برای نشان دادن اینکه مزیت‌های ادعایی اتوبالانسر جدید در حالت یاتاقان غیرهمگن همچنان پایرجاست، نتایج مربوط به روتور مجهز به اتوبالانسر ساچمه- فنر با روتور مجهز به اتوبالانسر متداول مقایسه شده است. شکل ۱۴ پاسخ زمانی روتور در دو حالت نشان می‌دهد: الف- روتور با یاتاقان‌های غیرهمگن مجهز به اتوبالانسر ساچمه- فنر ب- روتور با یاتاقان‌های غیرهمگن مجهز به اتوبالانسر متداول. همان‌طور که از شکل ۱۴ مشاهده می‌شود پاسخ ارتعاشی در سیستم مجهز به اتوبالانسر ساچمه- فنر در ناحیه گذرا نسبت به



شکل ۱۵: مقایسه محدوده بالانس پایدار روتور مجهز به اتوبالانسر ساچمه- فنر با محدوده بالانس پایدار روتور مجهز به اتوبالانسر متداول است.
تغییرات \bar{m} در مقابل $\bar{\omega}$ به ازای $\zeta_x = 0.01$ ، $\zeta_y = 0.05$ ، $e = 0.01$ ، $\beta = 0.1$ ، $\sigma = 5$ ، $\eta = 0.004$ و $f = 4$

Fig. 15: Balanced stable region of the rotor with ABB: variation of \bar{m} versus $\bar{\omega}$ for $\zeta_x = 0.01$, $\zeta_y = 0.05$, $e = 0.01$, $\beta = 0.1$, $\sigma = 5$, $\eta = 0.004$ and $f = 4$.



شکل ۱۴: مقایسه پاسخهای زمانی روتور مجهز به اتوبالانسر ساچمه- فنر با روتور مجهز به اتوبالانسر متداول به ازای پارامترهای $\bar{m} = 0.02$ ، $\zeta_x = 0.01$ ، $\zeta_y = 0.05$ ، $e = 0.01$ ، $\beta = 0.1$ ، $\sigma = 5$ ، $\eta = 0.004$ و $f = 4$

Fig. 14: The time response of a rotor equipped with ABB for $\bar{m} = 0.02$ ، $\zeta_x = 0.01$ ، $\zeta_y = 0.05$ ، $e = 0.01$ ، $\beta = 0.1$ ، $\sigma = 5$ ، $\eta = 0.004$ and $f = 4$

- ۱- اتوبالانسر ساچمه- فنر قادر است روتور با یاتاقان‌های غیرهمگن را در محدوده خاصی از پارامترهای سیستم، بالانس کند.
- ۲- ناحیه بالانس سیستم با افزایش پارامتر غیرهمگنی یاتاقان‌ها کاهش پیدا می‌کند.
- ۳- مقایسه پاسخ زمانی و ناحیه بالانس روتور با یاتاقان‌های غیرهمگن مجهز به اتوبالانسر ساچمه- فنر با پاسخ زمانی و ناحیه بالانس روتور با یاتاقان‌های غیرهمگن مجهز به اتوبالانسر متداول نشان داد که وجود اثر غیرهمگنی در یاتاقان‌ها خللی در دو مزیت ادعایی اتوبالانسر ساچمه- فنر، کاهش دامنه در ناحیه گذرا و افزایش ناحیه بالانس، ایجاد نمی‌کند.

این موضوع نشان می‌دهد که اتوبالانسر ساچمه- فنر توانایی بالانس روتور با محدوده وسیع تری از پارامترهای سیستم را دارد. دلیل وسیع بودن ناحیه بالانس پایدار اتوبالانسر ساچمه- فنر ناشی از فنرهای شعاعی می‌باشد. در اتوبالانسر نوع جدید برخلاف نوع متداول که ساچمه‌ها مقید به حرکت در مسیر دایره‌ای شکل هستند، ساچمه‌ها به دلیل متصل بودن به فنرهای شعاعی آزادی عمل بیشتری داشته که سبب افزایش ناحیه بالانس پایدار سیستم می‌شود.

۶- نتیجه‌گیری

یاتاقان‌ها یکی از اجزای تاثیرگذار بر رفتار دینامیکی سیستم‌های دوار هستند. عوامل متعددی باعث ایجاد غیرهمگنی در یاتاقان‌ها می‌شوند. در این مقاله برای اولین بار رفتار دینامیکی و پایداری روتور با یاتاقان‌های غیرهمگن مجهز به اتوبالانسر ساچمه- فنر مورد بررسی قرار گرفت. معادلات غیرخطی سیستم با استفاده از روش لاگرانژ استخراج و با استفاده از روش نیمه‌تحلیلی مقیاس‌های چندگانه ناحیه بالانس پایدار و پاسخ ارتعاشی سیستم استخراج گردید. اهم نتایج تحقیق حاضر به شرح زیر می‌باشد:

- ۱- مقایسه نتایج حاصل از روش تحلیلی و روش عددی حاکی از دقیق مطلوب روش مورد استفاده است.

فهرست علائم	
علائم انگلیسی	
C	مرکز هندسی روتور
e	خروج از مرکزی بی‌بعد
G	مرکز جرم روتور
J	ممان اینرسی دیسک حول مرکز جرم، $\text{kg} \cdot \text{m}^2$
k_p	سفتی فنرهای محیطی، N/m^2

(1998) 453-466.

- [6] Thearle E. L, Automatic Dynamic Balancers, Machine Design, 22 (1950) 119-124.
- [7] Y. Jinnouchi, Y. Araki, J. Inoue, Y. Ohtsuka, C. Tan, Automatic balancer (static balancing and transient response of a multi-ball balancer), Trans. Jpn. Soc. Mech. Eng., Ser. C, 59(557) (1993) 79-84.
- [8] J. Chung, D. Ro, Dynamic analysis of an automatic dynamic balancer for rotating mechanisms, Journal of Sound and vibration, 228(5) (1999) 1035-1056.
- [9] J. Chung, I. Jang, Dynamic response and stability analysis of an automatic ball balancer for a flexible rotor, Journal of Sound and Vibration, 259(1) (2003) 31-43.
- [10] C.-J. Lu, M.-C. Wang, S.-H. Huang, Analytical study of the stability of a two-ball automatic balancer, Mechanical Systems and Signal Processing, 23(3) (2009) 884-896.
- [11] C.-J. Lu, C.-H. Hung, Stability analysis of a three-ball automatic balancer, Journal of Vibration and Acoustics, 130(5) (2008) 051008.
- [12] J. Ehyaei, M.M. Moghaddam, Dynamic response and stability analysis of an unbalanced flexible rotating shaft equipped with n automatic ball-balancers, Journal of Sound and Vibration, 321(3) (2009) 554-571.
- [13] T. Chan, C. Sung, P.C. Chao, Non-linear suspension of an automatic ball balancer, International Journal of Non-Linear Mechanics, 46(2) (2011) 415-424.
- [14] C. Sung, T. Chan, C. Chao, C. Lu, Influence of external excitations on ball positioning of an automatic balancer, Mechanism and Machine Theory, 69 (2013) 115-126.
- [15] B. Bykov, Auto-balancing of a rotor with an orthotropic elastic shaft, Journal of Applied Mathematics and Mechanics, 77(4) (2013) 369-379.
- [16] M. Rezaee, R. Fathi, The effect of damping ratio and balls mass on the stability of automatic ball balancer and determining their optimum values, 14(3) (2014) 110-118 (in Persian).
- [17] M. Rezaee, R. Fathi, A.M. Alizadeh Fard, Investigating the stability of automatic ball-balancer under the gyroscopic effect and optimization of its parameters using the Nelder-Mead simplex algorithm,

k_r سفتی فرتهای شعاعی، N/m^2

k_x سفتی معادل روتور در راستای x ، N/m^2

k_y سفتی معادل روتور در راستای y ، N/m^2

m_d جرم روتور، kg

m_b جرم هر یک از ساقمه‌ها، kg

\bar{m} جرم بی‌بعد ساقمه‌ها

n تعداد ساقمه‌ها

علامه یونانی

β نسبت میرایی بالانسر

$\bar{\delta}_i$ جابجایی بی‌بعد ساقمه‌ها در راستای شعاعی

σ نسبت سفتی معادل روتور در راستای y به راستای x

$\bar{\omega}$ فرکانس بی‌بعد سیستم

ω_0 فرکانس طبیعی سیستم ساقمه- فنر شعاعی، rad/s

ζ_x نسبت میرایی روتور در راستای x

ζ_y نسبت میرایی روتور در راستای y

مراجع

- [1] Y. Ishida, Recent development of the passive vibration control method, Mechanical Systems and Signal Processing, 29 (2012) 2-18.
- [2] W. Kim, J. Chung, Performance of automatic ball balancers on optical disc drives, Proceedings of the Institution of Mechanical Engineers, Part C: Journal of Mechanical Engineering Science, 216(11) (2002) 1071-1080.
- [3] P.C. Chao, C.-K. Sung, C.-C. Wang, Dynamic analysis of the optical disk drives equipped with an automatic ball balancer with consideration of torsional motions, Journal of applied mechanics, 72(6) (2005) 826-842.
- [4] P.C.-P. Chao, C.-K. Sung, H.-C. Leu, Effects of rolling friction of the balancing balls on the automatic ball balancer for optical disk drives, Journal of Tribology, 127(4) (2005) 845-856.
- [5] C. Rajalingham, S. Rakheja, Whirl suppression in hand-held power tool rotors using guided rolling balancers, Journal of Sound and Vibration, 217(3)

- Rotor/Autobalancer System Influenced by Alford's Force, Journal of Vibration and Acoustics, 138(2) (2016) 021018.
- [21] D. Jung, H. DeSmidt, Limit-Cycle Analysis of Three-Dimensional Flexible Shaft/Rigid Rotor/Autobalancer System With Symmetric Rigid Supports, Journal of Vibration and Acoustics, 138(3) (2016) 031005.
- [22] M. Rezaee, R. Fathi, Improving the working performance of automatic ball balancer by modifying its mechanism, Journal of Sound and Vibration, 358 (2015) 375-391.
- Modares Mechanical Engineering, 14(14) (2015) 155-166 (in Persian).
- [18] M. Rezaee, R. Fathi, Dynamic analysis of an automatic double-race ball-balancer under the gyroscopic effect and optimization of its parameters using the genetic algorithm, Journal of Mechanical Engineering, 46(3) (2016) 129-137 (in Persian).
- [19] T. Majewski, D. Szwedowicz, M.A.M. Melo, Self-balancing system of the disk on an elastic shaft, Journal of Sound and Vibration, 359 (2015) 2-20.
- [20] D. Jung, H. DeSmidt, Limit-Cycle Analysis of Planar